

## 5. Beweis des Satzes 2.1 -285-

Satz 2.1 folgt aus folgenden beiden Propositionen:

### Prop 5.1.

Seifert-Flächen  
der beiden Seifert-  
Flächen  $\Sigma, \Sigma'$  eines Knotens  $K$   
liefern mit obiger Konstruktion  
isomorphe  $\mathbb{Z}[[t, t^{-1}]]$ -Module  
 $H_1(X_\infty)$  und  $H_1(X'_\infty)$

↑  
konstruiert  
mit Seifert-  
Fläche  $\Sigma$

↑  
konstruiert  
mit Seifert-  
Fläche  $\Sigma'$ .

### Prop 5.2

Ist  $V$  die Seifert-Matrix, die  
man aus der Seifert-Fläche  $\Sigma$   
und der Wahl von eingebebten  
Kurven  $f_1, \dots, f_{2g}$  erhalten hat  
(die eine Basis von  $H_1(\Sigma)$  bilden),

so ist die Matrix

-286-

$$tV - V^T$$

eine Präsentationsmatrix des  $\mathbb{Z}[t, t^{-1}]$ -Moduls  $H_1(X_\infty)$ .

In der Tat folgt jetzt Satz 2.1, weil nach Prop 5.2 das Alexander-Polyynom  $\Delta_K(t) = \det(tV - V)$  gerade ein Erzeuger des ersten elementaren (Haupt-)ideals des  $\mathbb{Z}[t, t^{-1}]$ -Moduls  $H_1(X_\infty)$  ist. (Man beachte nämlich, dass  $tV - V^T$  eine quadratische Matrix ist.) Die Unabhängigkeit von der Wahl der Seifert-Fläche ergibt sich aus Proposition 5.1.

Beweis von Prop 5.1:

-287-

Wir wollen zeigen, dass die char. Untergruppe

$$p_* \pi_1(X_\infty, \tilde{x}_0) \triangleleft \pi_1(X, x_0)$$

nicht von der Wahl der Sefest-Fläche abhängt.

Nun ist [Satz aus d. Übergangs-  
theorie]  $\Delta_{115}$

$$1 \rightarrow \pi_1(X_\infty, \tilde{x}_0) \xrightarrow{p_*} \pi_1(X, x_0) \xrightarrow{\mathcal{D}} \text{Aut}(p) \rightarrow 1$$

exakt, d. h.  $\ker \mathcal{D} = p_* \pi_1(X_\infty, \tilde{x}_0)$ .

$\mathcal{D}$  faktorisiert aber durch die Abelianisierung von  $\pi_1(X, x_0)$ , enthält

also ~~laut~~  $p_* \pi_1(X_\infty, x_0) = \ker \mathcal{D}$

den Kern des Abelianisierungshomom., welcher  $[\pi_1(X, x_0), \pi_1(X, x_0)] \triangleleft \pi_1(X, x_0)$

ist. Der Kern des

$\mathcal{D}$  ist gegeben durch

$[\tilde{\alpha}] \in \pi_1(X, x_0) \mapsto$  Eindeutige  
Dedek-Transformation  $f \in \text{Aut}(p)$ , so  
dass  $f(\tilde{x}_0) = \tilde{\alpha}^{(1)}$  mit  
 $\tilde{\alpha}$  der Hochpoly. zu

Der Kern des Homom.  $\bar{D}$   
in

$$\begin{array}{ccc} \pi_1(X, x_0) & \xrightarrow{D} & \text{Aut}(p) \\ \downarrow & & \nearrow \bar{D} \\ \pi_1(X, x_0) / & & \cong \mathbb{Z} \\ \cancel{[\pi_1(X, x_0), \pi_1(X, x_0)]} & & \end{array}$$

ist gerade gegeben durch

$$\ker D / \cancel{[\pi_1(X, x_0), \pi_1(X, x_0)]} \cong p_* \pi_1(\hat{X}_{x_0}, \hat{x}_0) / \cancel{[\pi_1(\hat{X}_{x_0}), \pi_1(\hat{X}_{x_0})]}$$

Mittels obiger Isomorphismen  
ist liefert  $\bar{D}$  einen Homom.

$$\begin{array}{ccc} \mathbb{Z} & \rightarrow & \mathbb{Z} \\ \pi_1(x, x_0)_\text{ab} & & \text{Aut}(p) \end{array},$$

welcher surjektiv ist. Ein

Korollar  
der  
Wirkungs-  
Präsentati-  
on

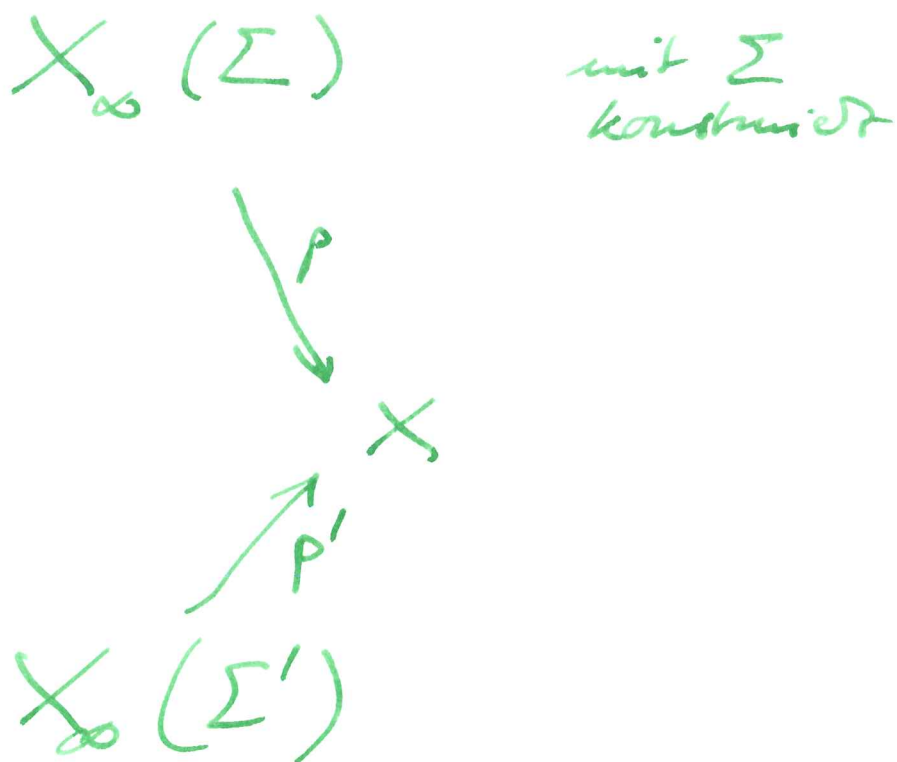
surjektiver Gruppenhomom. -289-

$$\Sigma \rightarrow \Sigma$$

Das muss jedoch ein Isomorphismus sein. Folglich

ist  $p_* \pi_1(X_\infty, z_0) \cong [\pi_1(X_\infty, z_0), \pi_1(X, z_0)]$ .

Aus der Überlagerungstheorie folgt daher, dass die beiden Überlagerungen



isomorphe Überlagerungen sind.

Es gibt daher einen  
Homeomorphismus  $h$ , so dass

$$\begin{array}{ccc} X_\infty & \xrightarrow{h} & X'_\infty \\ p \searrow & & \swarrow p' \\ & \#X & \end{array}$$

Kommutiert.

$h$  induziert nun einen  
 $\mathbb{Z}[t, t^{-1}]$ -Isomorphismus

$$H_1(X_\infty) \rightarrow H_1(X'_\infty),$$

sofern  $T' \circ h = h \circ T$ .

Es muss aber

$$h^{-1} \circ T' \circ h = T^{\pm 1}$$

sein, weil beide Homeomorphismen  
die Decktransformationsgruppe  
 $\text{Aut}(p) \cong \mathbb{Z}$  erzeugen.

-291-

Man kann ~~die~~ beweisstellen, dass

$$h^{-1} \circ T' \circ h = T$$

indem man  $\Sigma$  und  $\Sigma'$  „konsistent orientiert“:

Verlange, dass die Oberseiten von  $\Sigma$  und  $\Sigma'$  konsistent mit der gleichen Orientierung auf  $\partial\Sigma = \partial\Sigma' = K$  induzieren (die man vorher auf  $K$  gewählt hat.)



Hierzu schreibe:

Oberseite



• induziert  
diese  
Orientierung  
auf Rand,

Unterseite induziert



• diese

=



Das beweist  
Prop 5.1.

-292-

Bevor wir mit dem Beweis  
von Prop. 5.2 weitermachen,  
einige sehr nützliche und  
schöne Reinterpretationen der  
Verdrillungszahl einer 2-komp.  
Verdrillung.

orientiert

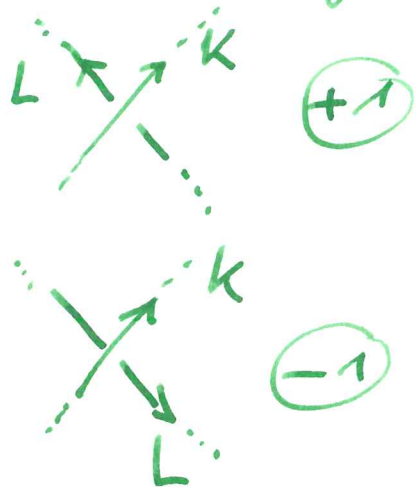
Sei  $K$  ein Knoten,  $\Sigma$  eine  
konsistent orientierte Seifert-Fläche  
und  $L$  ein orientierter Knoten  
in  $S^3 \setminus K$ .

Wir definieren folgende  
Zahlen:

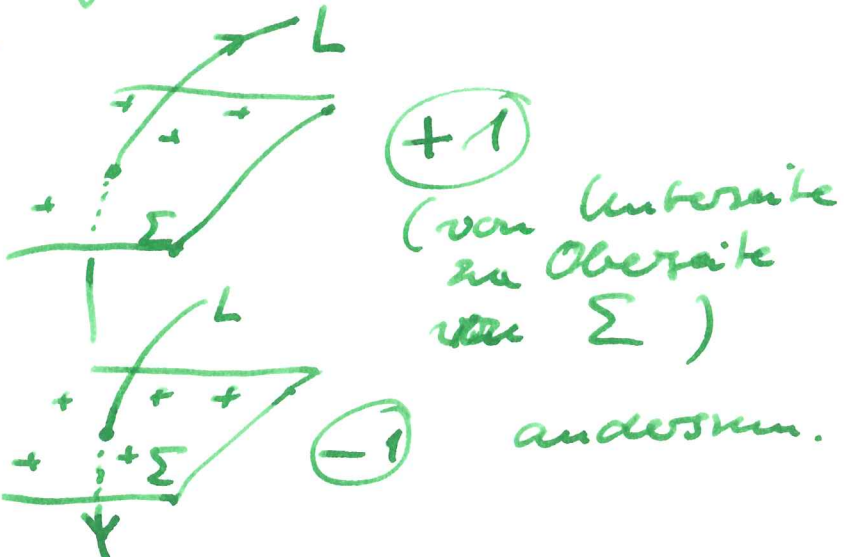
(1.)  $lk_{\text{Diag.}}(L, K) = \frac{1}{2} \cdot \underbrace{\text{Anzahl}}_{\substack{\text{mit vorzeichen} \\ \text{der Kreuzungen von}}} \text{ der Kreuzungen von } L \text{ und } K \text{ in einem} \text{ regulären Diagramm} \text{ für die Verdrillung } L \cup K.$

$(= \text{begr. Def. von } lk(L, K))$

(2.)  $lk_{\text{diag}}'(L, K) =$  Anzahl der  
Unterkreuzungen -  
von  $L$  unter  $K$ ,  
mit Vorzeichen  
gezählt



(3.)  $lk_{\text{Seif}}(L, K) =$  Anzahl  
der ~~transversal~~  
von Schnittpunkten  
von  $L$  mit  $\Sigma^{(*)}$ ,  
mit Vorzeichen  
gezählt:  
  
(\*) In  
allgemeiner  
"Lage" zueinander,  
istb. ist  
 $L \cap \Sigma$   
endlich!



-294-

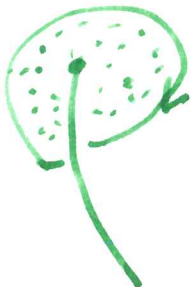
(4.)  $\underset{\text{abel}}{\text{lk}}(L, K) = n$ ,

wobei

$$[L] = n \cdot [m]$$

in  $\pi_1(S^3 \setminus K)_{\text{ab}} \cong \mathbb{Z}$ ,

wo  $m$  ein Brünger sei, der „positiver Meridian“ von  $K$  ist:  $m$  ist orientiert als Rand eines Meridian-  
scheide an  $K$ , die  $K$  positiv im Sinn von (3.) schneidet:



(5.)  $lk_{\text{über.}}(L, K) = n \in \mathbb{Z}$ ,

so dass wir für  
die Hochlebung  $\tilde{L}$  von  $L$   
in  $X_\infty \xrightarrow{\sim} X \cong S^3 \setminus K$ ,  
die im Punkt  $\tilde{x}_0$  beginne,  
die Gleichung  
 $\tau^n(\tilde{x}_0) = \tilde{L}(1)$

Endpunkt  
der  
Hochlebung

(hier fassen wir  $L$  auf als  
 $L : (S^3, *) \rightarrow (X, s)$   
"   
 $[0, 1] / \#_0 \sim 1$  )

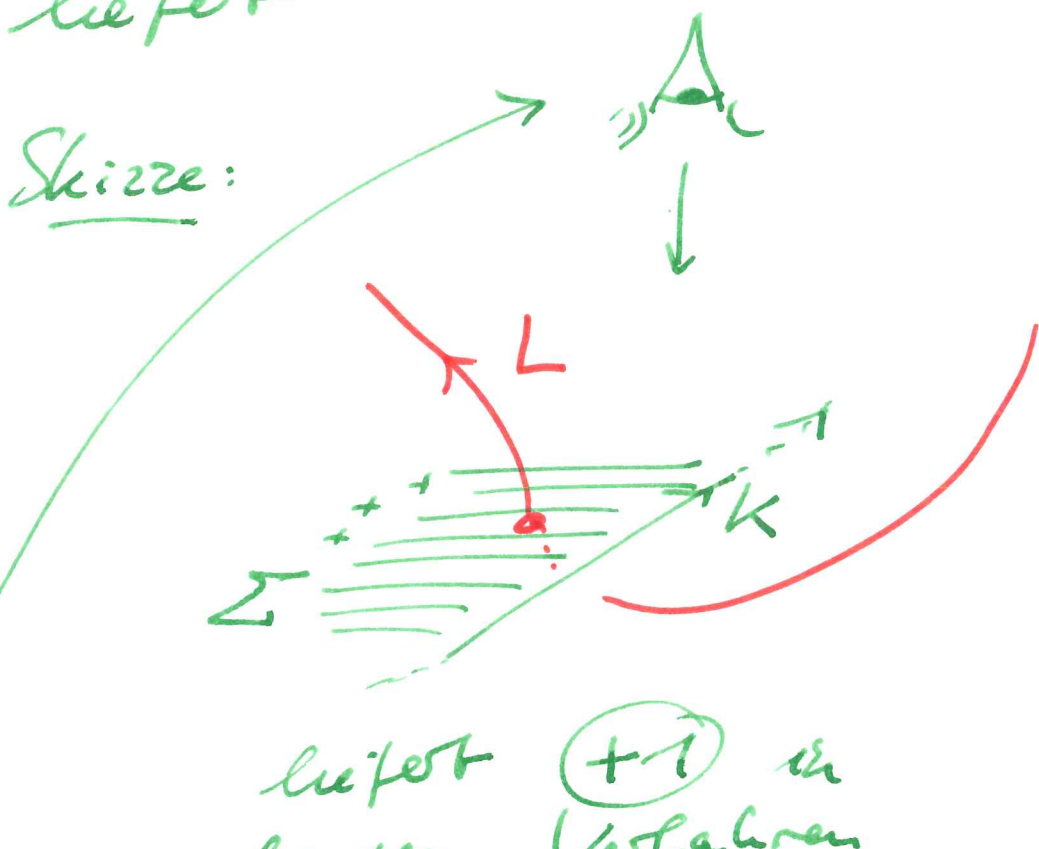
Satz 5.3 Die Zahlen  $lk_{\dots}$   
in (1.) – (5.) stimmen  
überein.

Bemerkung:  $lk_{\text{Seit.}}$  <sup>und  $lk_{\text{über.}}$</sup>  schreibt a priori  
von der Wahl der Seitent-  
Fläche abzuhängen.

Beweis: •  $ek_{\text{Diag}} = ek'_{\text{Diag}}$  -286- Lösung.

•  $ek_{\text{Saf}}(L, K) = ek'_{\text{Diag}}(L, K)$ ,

wobei wir links  
die Seifert-Fläche  
nehmen, die der  
Seifert-Algorithmus  
liebt



Diese Beob. sieht

liebt  $+1$  in  
beiden Verfahren

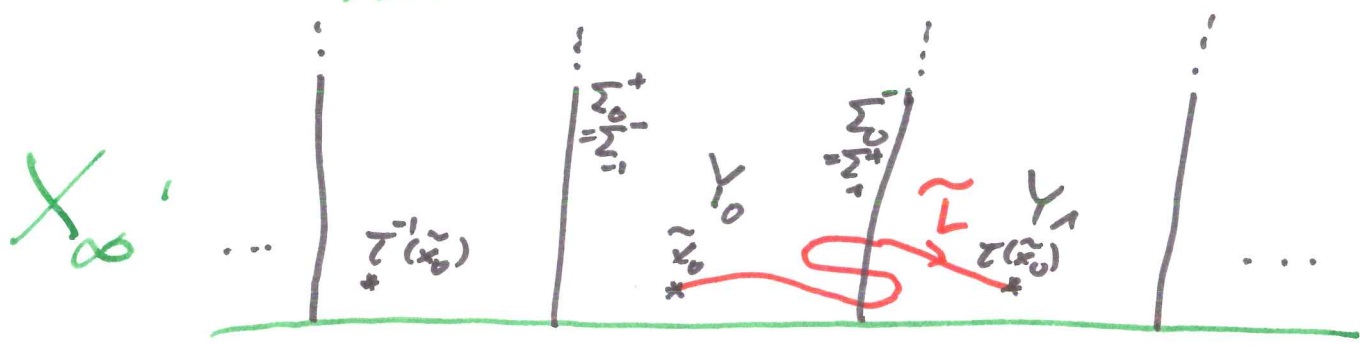


$+1$  in  
 $ek_{\text{Diag}}$ .

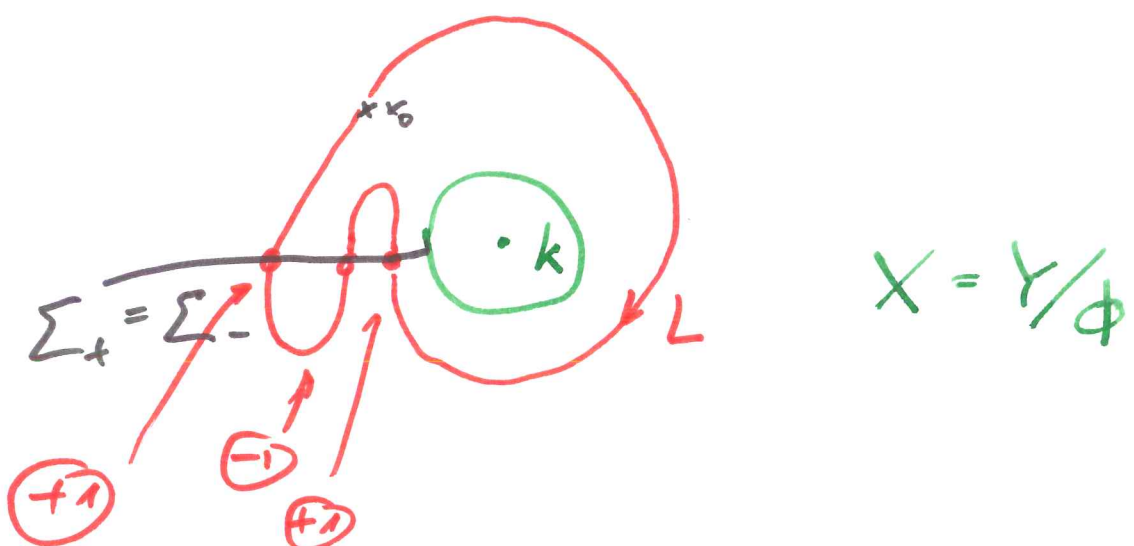
Fußpunktend für  $-1$ .

$$\cdot \text{lk}_{\text{Seif}}(L, K) = \text{lk}_{\text{über.}}(L, K)$$

nicht man so:



$\downarrow p$



$$\text{lk } T^n(\tilde{x}_0) = \tilde{L}(1) \text{ ist}$$

n also die Zahl, mit  
Vorzeichen gezählt, wie oft  
 $\tilde{L}$  von einem  $y_i$  zu einem  
 $y_{i+1}$  wechselt, was gleich  
 $\text{lk}_{\text{Seif}}(L, K)$  ist.

Beide Zahlen hängen von der Seifert-Fläche ab. Wegen den Argumenten im Beweis von Prop. 5.1 ist aber  $\text{lk}_{\text{abel}}(L, K)$  unabhängig von der Wahl der Seifert-Fläche.

- $\text{lk}_{\text{abel}}(L, K) = \text{lk}_{\text{abel}}^{\text{rel.}}(L, K)$   
kann man mittels obigen Diagramms  

$$\begin{array}{ccc} \pi_1(X, x_0) & \xrightarrow{\bar{\delta}} & \text{Aut}(p) \\ \pi_1(X, \tilde{x}_0) & \uparrow & \\ \parallel & & \\ \pi_1(X, x_0) & \xrightarrow{\quad} & [\pi_1(X, x_0), \pi_1(X, \tilde{x}_0)] \end{array}$$
- $\pi_1(X, x_0)_{\text{ab}} =$   
 $H_1(X, x_0)$  zeigen.  
 "  $\Rightarrow$  KS Korollar des Wirkungs-prinzipiell erzeugt von  $[m]$



-289-

## Zum Beweis von ~~Sat~~ Prop 5.2

Wir benutzen folgendes <sup>alg.</sup> Lemma:

### Lemma 5.4

$$1 \rightarrow N \xrightarrow{f} G \xrightarrow{g} H \rightarrow 1$$

eine kurze exakte Sequenz von Gruppen,  
d.h. ist

- $f$  injektiv
- $g$  surjektiv
- $\text{im } f = \ker g$ ,

so ist nach Abelianisierung  
folgende Sequenz exakt:

$$N_{ab} \xrightarrow{fas} G_{ab} \xrightarrow{geb} H_{ab} \rightarrow 0$$

d.h.  $\ker geb = \text{im } fas$  und  
 $geb$  ist surjektiv.

Abelianisierung ist ein rechts-exakter  
"Funktör" (in Funktoren-sprechweise).

Beweis:

Zunächst zur Erinnerung:  
Gab ist wie folgt gegeben:

$$\begin{array}{ccc}
 & G \xrightarrow{g} H & \\
 \text{frud.} & \downarrow \text{Aut.-} & \downarrow \text{Aut.-Morph.} \\
 \text{morph Gab} & \text{Abb.} & \\
 * & \text{Gab} & \dashrightarrow \text{H}_{ab} = H/[H, H] , \\
 & & \uparrow \\
 & \text{Autog: } G \rightarrow \text{Hab} & \\
 & \text{ faktoriert nach} & \\
 & \text{uni. Eig. der} & \\
 & \text{Abelotisierung} & \\
 & (\text{oder weil } [G, G] & \\
 & \text{im Ker dieses morph.} & \\
 & \text{liegen muss}) & \\
 \hline
 \text{* Offenbar ist} & & \\
 \text{dann Gab} & & \\
 \text{surjektiv, weil} & & \\
 H \rightarrow \text{Hab und } G \xrightarrow{g} H \text{ es sind.} & &
 \end{array}$$

$$\begin{array}{c}
 * g \circ f = \text{triv. Hom. } \otimes N \rightarrow H \\
 n \mapsto e_H \quad \forall n \in N \\
 \text{nach Voraussetzung} \quad \text{Faktorelement} \\
 \rightarrow 0 = (g \circ f)_{ab} = g_{ab} \circ f_{ab} \\
 \uparrow \\
 \text{Funktoreig. von } ()_{ab}
 \end{array}$$

Also ist  $\text{im } f_{ab} \subseteq \ker g_{ab}$ . -301-

Wir schreiben  $\bar{x} \bar{\tilde{g}} \in G_{ab}$  für Äquivalenzklassen von Elementen  $\tilde{g} \in G$  now.

Zeige jetzt:  $\text{im } f_{ab} \supseteq \ker g_{ab}$ .

Sei  $\bar{x} \in G_{ab}$  mit  $\bar{x} \in \ker g_{ab}$ .

$g_{ab}(\bar{x}) = \overline{g(x)}$  nach Definition.

Also ist  $g(x) \in [H, H]$ .

Man sieht leicht:  $g$  bildet  $[G, G]$  surjektiv auf  $[H, H]$  ab.

Also gibt es ein  $y \in [G, G]$  mit  $g(y) = g(x)$ . Also ist  $g(xy^{-1}) = e_H$  und somit ist  $xy^{-1} \in \text{im}(f)$ , weil  $\ker g = \text{im}(f)$ . Sei also  $n \in N$  mit  $f(n) = xy^{-1}$ . Es ist dann  
 $(\text{wegen } \tilde{y} \in [G, G]) \quad \overline{xy^{-1}} = \bar{x}$ , also  
 $f(n) = \bar{x} \Leftrightarrow f_{ab}(\bar{n}) = \bar{x}$ .  
Also ist  $\bar{x} \in \text{im } f_{ab}$ . 

Übung: ( $\exists$  Beispiele aus Vorlesung, -302-  
 siehe Kapitel 5 und  
 Anwendungen von Dehnstet'schen  
 Lemmata....)

Ist  $N \xrightarrow{f} G$  injektiv, so  
 ist nicht notwendigerweise  
 $N_{ab} \xrightarrow{f_{ab}} G_{ab}$   
 injektiv.

Wir "abelianisieren" nun den Satz  
 von Seifert-van-Kampen: Das  
 amalgamierte Produkt  $G * H$  lässt  
 sich in einer kurzen exakten Sequenz  
 wie folgt darstellen, wobei  
 $i_1: K \rightarrow G$ ,  $i_2: K \rightarrow H$  die in der  
 Notation unterdrückten Morphismen  
 seien:

$$1 \rightarrow \langle\langle i_1(k) i_2(k)^{-1} | k \in K \rangle\rangle \xrightarrow{\text{Inklusion als normale Untergruppe}} G * H \rightarrow 1,$$

denn wir haben gerade  
 $G * H$  definiert als  $G * H / N$ .

-303-

Man hat nun in kanonischer Weise

$$(G^* H)_{ab} \cong G_{ab} \oplus H_{ab}.$$

↑  
direkte Summe  
von abelschen  
Gruppen.

Nach obigen Lemma erhalten wir eine exakte Sequenz

$$K_{ab} \xrightarrow{(i_1)_{ab} + (-i_2)_{ab}} G_{ab} \oplus H_{ab} \xrightarrow{\text{Quot.-Map.}_{ab}} (G^* H)_{ab} \rightarrow 0.$$

Prop 5.5:

Mit dem Satz von Seifert-van-Kampen ergibt sich daraus für  $X = U \cup V$  wegruh.,  $U, V$  offen, wegruh. und  $U \cap V$  wegruh.: Die folgende Sequenz ist exakt.

$$\begin{aligned} \pi_1(U \cap V)_{ab} &\xrightarrow{(i_U)_a - (i_V)_a} \pi_1(U)_{ab} \oplus \pi_1(V)_{ab} \\ &\xrightarrow{(j_U)_a \oplus (j_V)_a} \pi_1(X)_{ab} \rightarrow 0, \end{aligned}$$

mit  $i_U, i_V, j_U, j_V$  den offensichtlichen Inklusionen (wir haben  $(i_U)_*$  aus  $\pi_1(U) \rightarrow \pi_1(X)$  nicht geschrieben, um doppelte Indices zu vermeiden.).

Prop 5.6

-304-

Sei  $K$  ein Knoten in  $S^3$  und  $\Sigma$  eine Seifert-Fläche von  $K$ . Dann gibt es eine <sup>genau</sup> bilineare Paarung

$$\beta : H_1(\Sigma) \times H_1(S^3 \cdot \Sigma) \rightarrow \mathbb{Z},$$

die die Verdrillungs-Paarung verallgemeinert, d.h. sind  $c : S^1 \rightarrow \Sigma$ ,  $d : S^1 \hookrightarrow S^3 \cdot \Sigma$  Färbefäden, so ist

$$\beta([c], [d]) = lk(c, d).$$

$H_1(\Sigma)$  und  $H_1(S^3 \cdot \Sigma)$  sind bezüglich  $\beta$  dual zueinander, d.h.

$$\begin{aligned} H_1(\Sigma) &\rightarrow \text{Hom}(H_1(S^3 \cdot \Sigma), \mathbb{Z}) \\ x &\mapsto \beta(x, -) \end{aligned}$$

$$\begin{aligned} H_1(S^3 \cdot \Sigma) &\rightarrow \text{Hom}(H_1(\Sigma), \mathbb{Z}) \\ g &\mapsto \beta(-, g) \end{aligned}$$

sind Isomorphismen.

Beweisskizze:

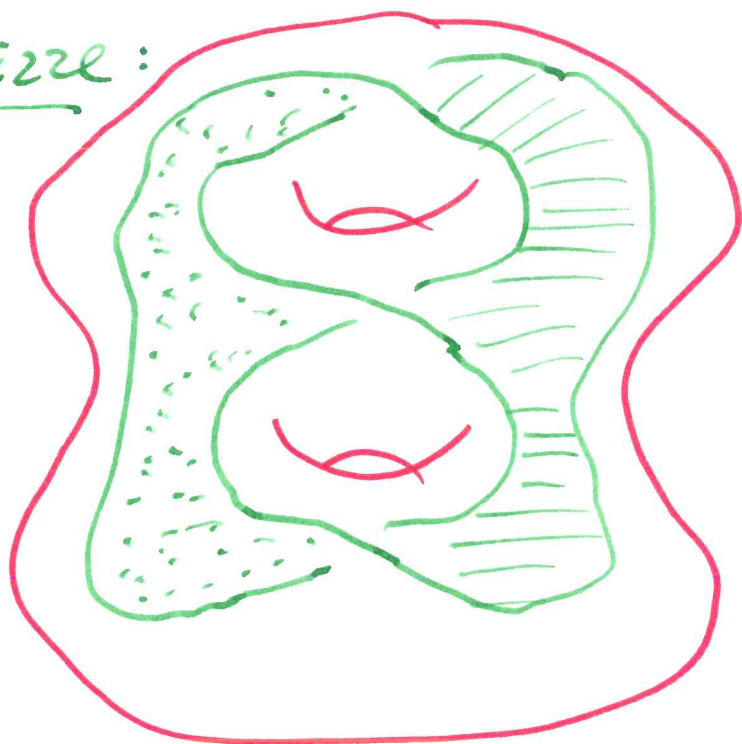
Wir wissen bereits:  $H_1(\Sigma) \cong \mathbb{Z}^{2g}$

wobei  $g$  das Geschlecht von  $\Sigma$  ist.

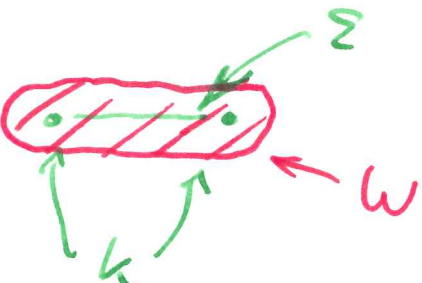
Wir zeigen zunächst, dass  $H_1(S^3 \cdot \Sigma)$  nicht „größer“ sein kann.

Zunächst gibt es einen <sup>3-dim</sup> Henkelkörper  $W \subseteq S^3$ , der eine Deformationsstruktur  $W \cong \Sigma$  besitzt. Der Rand von  $W$  ist eine Fläche von Geschlecht  $\cong 2g$ , d.h.  $H_1(\partial W) \cong \mathbb{Z}^{4g}$ .

Skizze:



Ausschnitt:



Wir haben also eine  
 Vereinigung

-306-

$$S^3 = S^3 \cdot \Sigma \cup \overset{\circ}{W}$$

offen                      offen ,

und

$$S^3 \cdot \Sigma \cap \overset{\circ}{W} \underset{\uparrow}{\sim} \mathbb{Z}^{2g} \partial W$$

Deformations-  
äquivalenz  
auf Rand  
von  $W$ .

Wendet man Prop 5.5, die  
"Abelianisierung" des Seifert-  
"vom-Kanigen-Satzes", auf  
 $U = S^3 \cdot \Sigma$  und  $U \setminus \overset{\circ}{W}$  an, ergibt  
sich die exakte Folge

$$H_1(\partial W) \xrightarrow{\text{ns}} H_1(S^3 \cdot \Sigma) \oplus H_1(\Sigma)$$

$$\mathbb{Z}^{4g} \longrightarrow H_1(S^3)$$

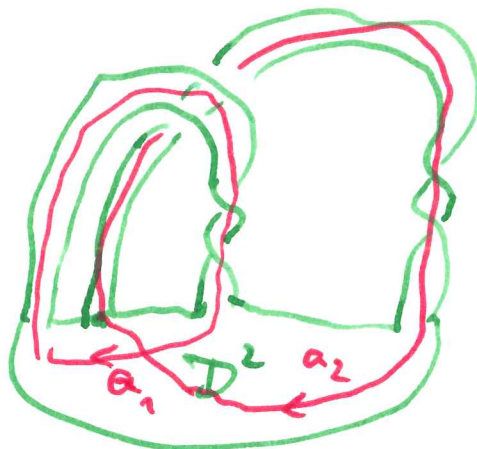
Damit also  $\phi$  surjektiv  
ist, muss der Rang von  
 $H_1(S^3 \cdot \Sigma)$  kleiner gleich  $2g$   
sein.

$\overset{\circ}{\wedge}$   
 $\pi_1(S^3)$   
 $= 87$

Aus obiger Charakterisierung  
des lk-Form <sup>Satz 5.3</sup> nicht man,  
dass  $lk(c, d)$  wirklich  
nur von  $[c] \in H_1(\Sigma)$ ,  $[d] \in H_1(S^3)$   
abhängt, d.h. sind  $c'$ ,  $d'$  ebenfalls  
entsprechend eingebecket und  
 $[c] = [c']$ ,  $[d] = [d']$ ,  
so ist  $lk(c, d) = lk(c', d')$ .

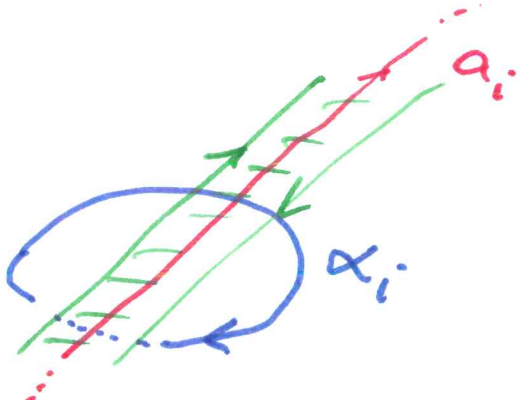
Seien nun  $a_i : S^1 \hookrightarrow \Sigma$ ,  $i=1, \dots, 2g$   
eingebekete ~~basis~~ gesul. Kurven,  
dass diese eine Basis von  $H_1(\Sigma)$   
induzieren. Stws genauer: Sei  
 $\Sigma$  gegeben als  $D^2 \cup 2g$  Bänder.  
Wähle <sup>die</sup>  $a_i$  so, dass jedes Band  
nur von einem dieser  $a_i$  durch-  
laufen wird.

Skizze:



Sei  $\alpha_i$ ,  $i = 1, \dots, 2g$   
ein "Meridian" an das  $i$ -te  
Band:

(in  
komple-  
ment  $S^3 \setminus \Sigma$ )



$$\text{Es ist dann } lk(\alpha_i, \alpha_j) = \delta_{ij} \quad (*) \\ = \begin{cases} 1 & , i=j \\ 0 & \text{sonst} \end{cases}$$

Sei  $H := \text{Spann}_{\mathbb{Z}} \{ [\alpha_1], \dots, [\alpha_{2g}] \} \subseteq H_1(S^3 \setminus \Sigma)$ .

Man sieht mit (\*), dass die  
Nur definiert man eine Bilinear-  
form

$$\beta : H \times H_1(\Sigma) \rightarrow \mathbb{Z}$$

durch lineare Fortsetzung der  
lk-Form, d.h. ist  $[c] = \sum n_i [\alpha_i]$ ,  
 $[d] = \sum m_j [\alpha_j]$ ,

so definiert man

-309-

$$\begin{aligned}\beta([c], [d]) &:= \sum_{i,j} a_i \cdot m_j \\ &\quad \ell_k(x_i, q_j) \\ &= \sum_{i,j} a_i \cdot m_i.\end{aligned}$$

Dass dies wohldefiniert ist, sieht man aus (\*), woraus folgt, dass die  $[\alpha_1], \dots, [\alpha_{2g}]$  linear unabhängig in  $H_1(S^3; \Sigma)$  sind. [Übrigens lässt sich jedes Element in  ~~$H_1(Y)$~~   $H_1(Y)$  durch eine eingesetzte  $c: S^1 \rightarrow Y$  repräsentieren, wenn  $\Sigma$  eine 3-dim Mannigfaltigkeit ist.]  
Daraus folgt die Eindeutigkeit von  $\beta$  mit  $\beta$  vorgegeben.

Wegen  $\text{Rang}(H_1(S^3; \Sigma)) \leq 2g$  ]  
und  $\text{Rang}(H) = 2g$   
folgt nun auch  $H = H_1(S^3; \Sigma)$ .

$[\alpha_1], \dots, [\alpha_{2g}]$  und  $[\alpha_1], \dots, [\alpha_{2g}]$  sind also Dualbasen bezüglich  $\beta$ , woraus die übrigen Beh. folgen. 

## Bemerkung:

Man könnte den Gradrück gewinnen,  $\beta$  hänge ab von der Wahl einer Basis, da diese angehend vor einer Basis definiert. Bilinearform ~~so definiert~~ gewollt.  
 Dass dies nicht so ist, folgt aus der homologischen Interpretation der lk - Zahlen. Die Wahl der ~~Werte~~  $a_i : S^1 \rightarrow \Sigma$  mit der angegebenen Eigenschaft, je ein Mal durch ein "Band" zu laufen, erlaubt lediglich das Auffinden der ~~Werte~~ Elemente  $\alpha_i : S^1 \rightarrow S^3 \wedge \Sigma$ , die eine Basis von  $H_1(S^3; \Sigma)$  bilden.

## Korollar S. 7:

Ist  $c: S^1 \hookrightarrow S^3 \setminus \Sigma$  eine eingeschlossene Kurve, so ist in  $H_1(S^3 \setminus \Sigma)$

$$[c] = \sum_{i=1}^{2g} lk(c, a_i) \cdot [\alpha_i]$$

bezüglich der Basen  $[a_1], \dots, [a_{2g}]$  von  $H_1(\Sigma)$  und  $[\alpha_1], \dots, [\alpha_{2g}]$  von  $H_1(S^3 \setminus \Sigma)$ , wie sie ~~die gewählt definiert~~ im Beweis von Prop 6 werden.

Beweis: Für alle  $i$  gilt:

$$\beta([c], [a_i]) = lk(c, a_i).$$

Andererseits ist

$$\beta\left(\sum_{j=1}^{2g} lk(c, a_j) \cdot [\alpha_j], [a_i]\right)$$

$$\stackrel{\text{Def'n von } \beta}{=} \sum_{j=1}^{2g} lk(c, a_j) \underbrace{\beta([\alpha_j], [a_i])}_{= lk(\alpha_j, a_i)} = \delta_{ji}$$

$$= lk(c, a_i).$$

Aus der Dualität folgt nun die behauptete Formel. 

Wir wenden Prop 5.5 an auf

-312-

$$X_\infty = \left( \prod_{i \in \mathbb{Z}} Y_i \right) /$$

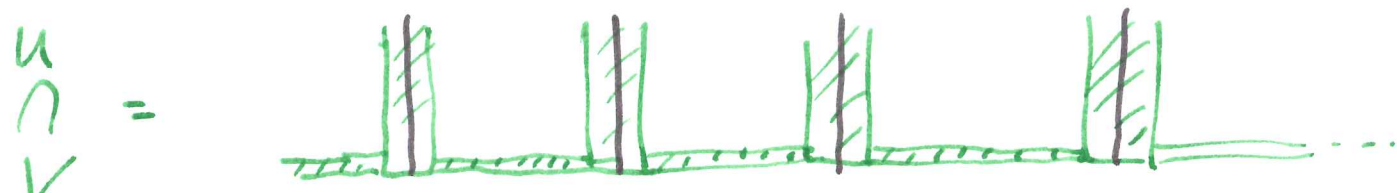
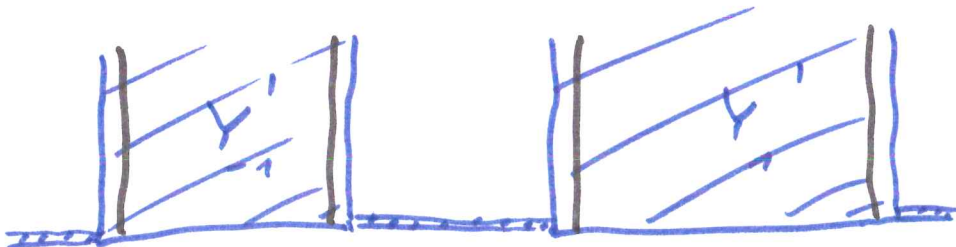
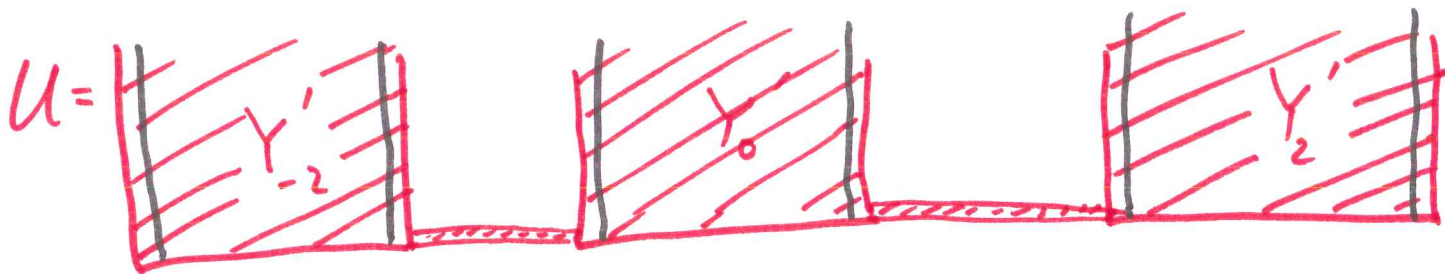
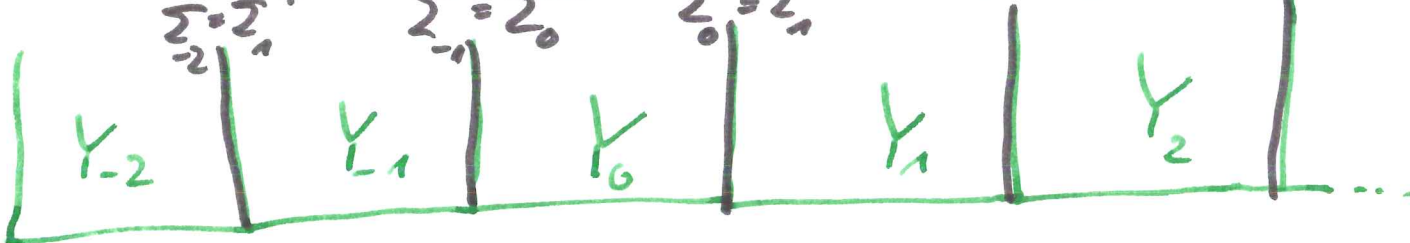
(definiert  
wie oben) wie folgt:

$$\Sigma_2^- = \Sigma_1^+$$

$$\Sigma_1^- = \Sigma_0^+$$

$$\Sigma_0^- = \Sigma_1^+$$

$$\Sigma_1^- = \Sigma_2^+$$



## Erläuterungen:

- $\gamma'_i$  ist  $\gamma_i$  ergänzt um eine Umgebung der Form  $(-1, 0] \times \Sigma_i^+$  von  $\Sigma_i^-$  sowie eine Umg. der Form  $[0, 1) \times \Sigma_i^{*-}$  von  $\Sigma_i^-$ .
- Die horizontalen Segmente  
  
 deuten Fahnenumgebungen Verbindungen an, die sich aus einer  $D^2 \times S^1$ -Umgebung eines Meridians an den Knoten K ergeben.  
 (wird zu  $D^2 \times I$  nach Aufschneiden entlang  $\Sigma$ )
- $U \cap V$  besteht aus „Z vielen“ Umgebungen der Form  $(-1, 1) \times \Sigma_i$ , die wie glaue eben beschrieben verbunden werden, dabei identifizieren wir  $\Sigma_i$  mit  $\Sigma_i^-$

Man zeigt leicht, dass -314-

$$H_*(U) \cong \bigoplus_{i \in 2\mathbb{Z}} H_*(Y'_i)$$

$$H_*(V) \cong \bigoplus_{i \in 2\mathbb{Z}+1} H_*(Y'_i)$$

induziert von den Inklusionen

$$\coprod_{i \in 2\mathbb{Z}} Y'_i \hookrightarrow U \quad \text{und} \quad \coprod_{i \in 2\mathbb{Z}+1} Y'_i \hookrightarrow V.$$

Genauso:  $H_*(U \cap V) \cong \bigoplus_{i \in \mathbb{Z}} H_*(\Sigma_i)$ .

$H_*(U)$  und  $H_*(V)$  werden durch  $\tau$  zu keinem  $\mathbb{Z}[\epsilon, \epsilon^{-1}]$ -Modul, so jedoch  $H_*(U) \oplus H_*(V)$ , wo Null. mit  $t$  die Summanden „vertauscht“.  $H_*(U \cap V)$  ist dagegen natürlicherweise ~~ein~~ mit  $\tau$  ein  $\mathbb{Z}[\epsilon, \epsilon^{-1}]$ -Modul.

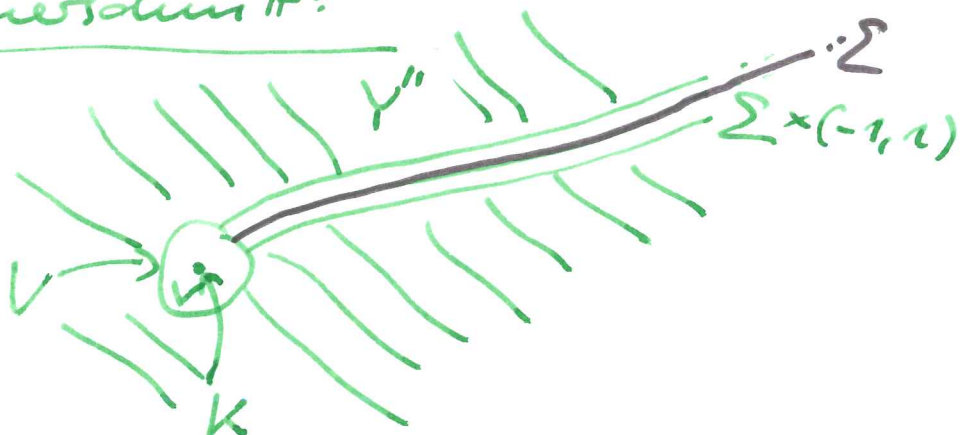
Als  $\mathbb{Z}[\epsilon, \epsilon^{-1}]$ -Modul hat dann  $H_*(U \cap V)$  eine Basis gegeben durch  $[a_1], \dots, [a_{2g}] \in H_*(\Sigma_0)$ , und  $H_*(U) \oplus H_*(V)$  hat eine Basis gegeben durch  $[a_1], \dots, [a_{2g}] \in \Sigma_0$ .

Ein Element  $[c] \in H_1(\Sigma_i)$  <sup>-315-</sup>  
~~lässt sich also~~ schreibt sich  
dann als Linearkombination  
(über  $\mathbb{Z}$ ) in  $t^i[a_1], \dots, t^i[a_{2g}]$ .

Das oben konstruierte  $Y$   
~~lässt sich schreiben~~ ist homotopie-  
äquivalent zu

$$Y'':= (S^3, V) \setminus \underset{\substack{\uparrow \\ \text{Volltorus-} \\ \text{umgebung} \\ \text{von } K}}{\Sigma} \times \underset{\substack{\uparrow \\ \text{Umgebung} \\ \text{von } \Sigma}}{(-1, 1)}$$

Querschnitt:



Außerdem ist die Inklusion  
 $Y'' \hookrightarrow S^3, \Sigma$   
eine Homotopieäquivalenz,  
wie ausdrücklich klar ist.

Mit Proposition 5.6 erhalten wir eine Basis  $[\alpha_1], \dots, [\alpha_g]$  von  $\mathcal{Y}'$  bzw.  $\mathcal{Y}' \cong \mathcal{Y}$ , sobald wir wie oben eine Basis  $[\alpha_1], \dots, [\alpha_g]$  gewählt haben.

[Man kann die „Meridiane“

$\alpha_i$  an die  $a_i$  „weit genug weg“ in  $\mathcal{Y}'$  legen, so dass sie unter der Deformationsretraktion  $S^3, \Sigma \rightarrow \mathcal{Y}'$

in sich überführt werden.]

Jedes  $\mathcal{Y}'_i$  oben kann mittels der ~~der~~ ~~tautologischen~~ Homöomorphismen  $h_i$  mit  $\mathcal{Y}' \cong \mathcal{Y}$  identifiziert werden. Wir wissen, dass aus Prop 5.6 folgt

$$H_1(\mathcal{Y}) \cong \mathbb{Z}^{2g}$$

wobei wir eine Basis gegeben haben durch die  $[\alpha_1], \dots, [\alpha_g]$ .

-3/7

Als  $\mathbb{Z}[\epsilon, \epsilon^{-1}]$ -Modul können wir  $H_*(U) \oplus H_*(V) \underset{i \in \mathbb{Z}}{\cong} \bigoplus H_*(Y_i)$

also mit der Basis  $[\alpha_1], \dots, [\alpha_{2g}] \in H_*(Y_i)$  verstehen, d.h. als abelsche Gruppe hat

$H_*(U) \oplus H_*(V)$  eine Basis, die aus  $\left\{ t^i [\alpha_j] \mid j \in 1, \dots, 2g, i \in \mathbb{Z} \right\}$

besteht, als  $\mathbb{Z}[\epsilon, \epsilon^{-1}]$ -Modul ist  $H_*(U) \oplus H_*(V)$  jedoch endlich-dimensional von Dimension  $2g$ .

In dieser Basis wollen wir nun zum Abschluss den  $\mathbb{Z}[\epsilon, \epsilon^{-1}]^{2g}$

$$H_*(U \cap V) \xrightarrow{(i_U)_* - (i_V)_*} H_*(U) \oplus H_*(V)$$

$$\mathbb{Z}[\epsilon, \epsilon^{-1}]^{2g}$$

$$\rightarrow H_*(X)$$

aus Prop. 5.5 verstehen.

-318-

Damit dies sinnvoll ist, überzeuge man sich zunächst, dass  $(i_u)_\text{ab} - (i_v)_\text{ab}$  tatsächlich ein Morphismus von  $\mathbb{Z}[t, t^{-1}]$ -Moduln ist!  
(Lösung!)

$$\text{Es ist } \psi : H_1(\Sigma_0) \rightarrow H_1(Y'_0)$$

$$(iv)_{ab}([a_i^-]) = [a_i^-] \in H_1(Y'_0)$$

Andererseits ist

$$(iv)_{ab}([a_i^-]) = t \cdot \underbrace{[a_i^+]}_{\in H_1(Y'_0) \text{ in einer Basis}} \in H_1(Y')$$

$$= t \cdot H_1(Y'_0).$$

[Man muss sich klar machen, dass die Inklusion von  $\Sigma_0 = \Sigma^- = \Sigma_1^+$  nach  $Y'_0 \subseteq U$  als  $\Sigma^-$  geschicht, als Inklusion nach  $Y'_1 \subseteq V$  jedoch als  $\Sigma_1^+$ !]

Nun drücken wir noch  $[a_i^-]$  und  $t \cdot [a_i^+]$  in den ~~Basen~~<sup>Stufen</sup> von  $H_1(U) \oplus H_1(V)$  aus.

~~Wiederholung~~

Nach Korollar 5.7 ist

$$[a_i^-] = \sum_{j=1}^{2g} \text{ek}(a_i^-, a_j) \cdot [\alpha_j]$$

und  $[a_i^+] = \sum_{j=1}^{2g} \text{ek}(a_i^+, a_j) \cdot [\alpha_j]$

$$\stackrel{\text{Symmetrie}}{=} \sum_{j=1}^{2g} \text{ek}(a_j, a_i^+) \cdot [\alpha_j]$$

$$\stackrel{\text{Isotopie}}{=} \sum_{j=1}^{2g} \text{ek}(a_j^-, a_i^-) \cdot [\alpha_j].$$

Zusammenfassend:

$$(i_u)_{ab} - (i_v)_{ab} ([a_i]) = [a_i^-] - t [a_i^+]$$

$$= \sum_{j=1}^{2g} (\underbrace{\text{ek}(a_i^-, a_j)}_{= v_{ij}} - t \underbrace{\text{ek}(a_j^-, a_i^-)}_{= v_{ji}}) \cdot [\alpha_j]$$

In den obigen Basen ist  $(i_u)_{ab} - (i_v)_{ab}$   
also durch die Matrix

$$-tV + V^T$$

ausgedrückt. Dies beweist Prop 5.2.

